

Diagnóstico estacional de eventos climáticos para la región de RCC Washington *Enero - Marzo*

(i) Temperatura

Durante la temporada enero-marzo (JFM), en el Caribe, las temperaturas máximas promedio fueron más cálidas de lo normal en las Antillas Menores y Jamaica, registrándose anomalías positivas de 1-2 °C ([Fig. 1](#)). Las temperaturas mínimas promedio también fueron superiores al promedio en las Antillas Menores, mientras se observaron temperaturas cercanas al promedio en el resto del archipiélago ([Fig. 2](#)).

En México, las temperaturas máximas fueron más cálidas que el promedio en la mayor parte del país, excepto en la península de Baja California y algunas zonas de la costa del Pacífico y el noreste de México, donde se mantuvieron cerca del promedio. Las anomalías más altas (2-4 °C) se registraron en la zona central de México ([Fig. 1](#)). En Centroamérica, las temperaturas máximas fueron principalmente cercanas al promedio, excepto en zonas del norte de Guatemala, Belice y el este de Honduras, donde se registraron anomalías positivas de 1-2 °C.

Las temperaturas mínimas fueron entre 1°C y 2 °C más cálidas que el promedio en la mitad sur de México y entre 1°C y 4 °C más frías que el promedio en el norte de México y la península de Baja California. Se observaron condiciones cercanas a la media en el centro del país ([Fig. 2](#)). En Centroamérica, las temperaturas mínimas medias trimestrales fueron entre 1 °C y 2 °C superiores a la media en el norte de Nicaragua, Honduras, El Salvador, Guatemala y Belice. Al sur prevalecieron temperaturas cercanas a la media.

(ii) Precipitación

Durante la temporada enero-marzo (JFM), las precipitaciones fueron inferiores a la media en Las Bahamas y La Española, así como en la zona sur de las Antillas Menores. La precipitación total de la temporada osciló entre 100 mm y 150 mm en muchas zonas locales, mientras que en La Española tan solo osciló entre 10 mm y 25 mm ([Fig. 3](#)). La mayor parte de la región recibió entre 50 mm y 75 mm. Los déficits de lluvia en Las Bahamas y La Española fueron generalmente de entre 25 mm y 100 mm. Los mayores excedentes en la región fueron de 50 mm a 100 mm en varias zonas locales ([Fig. 4](#)).

En México, las mayores precipitaciones (superiores a 100 mm) se observaron en el sur, la península de Yucatán y a lo largo de la costa del Golfo de México ([Fig. 3](#)). Por el contrario, gran parte de la península de Baja California y otros estados del noroeste prácticamente no registraron precipitaciones. La mayor parte de las zonas norte y oeste del país experimentaron precipitaciones inferiores a la media. Los déficits fueron de entre 10 mm y 50 mm, pero superaron los 50 mm en zonas costeras de los estados de Baja California, Sonora, Chihuahua, Jalisco y Tamaulipas. Por el contrario, las fuertes lluvias en el sur provocaron grandes anomalías positivas, localmente superiores a los 300 mm ([Fig. 4](#)).

En Centroamérica, las precipitaciones durante la temporada variaron desde unos pocos milímetros hasta más de 300 mm. Las zonas costeras del Caribe, junto con partes del sur de Costa Rica y el suroeste de Panamá, registraron las precipitaciones más intensas. Mientras tanto, el sureste de Guatemala, el sur de Honduras y el norte de Nicaragua se mantuvieron más secos ([Fig. 3](#)). Estos totales de precipitación estacional fueron superiores al promedio (anomalías superiores a 100 mm) en áreas como el este de Belice, el este de Nicaragua, partes de Costa Rica y Panamá. Por otro lado, el norte de Guatemala registró déficits superiores a 50 mm, y muchas zonas del sur de Guatemala, Honduras y el norte de Nicaragua registraron déficits de hasta 10-50 mm ([Fig. 4](#)).

(iii) Eventos Notables

Durante enero se registraron fuertes lluvias en Centroamérica. La humedad resultante ha sobresaturado el suelo y provocado numerosas inundaciones, especialmente en las regiones sur y este, según informes. Por otro lado, los fuertes vientos y las temperaturas superiores a la media de las últimas semanas han contribuido a las condiciones ambientales, lo que ha incrementado el número de incendios forestales en muchas zonas, incluyendo el centro y norte de Guatemala y Honduras, según informes.

Grandes zonas de México permanecieron en sequía durante marzo. Los percentiles de humedad del suelo estuvieron por debajo del 2% en el norte y el oeste durante la temporada pasada ([Fig. 5](#)). Esto significa que los suelos se encuentran actualmente entre los más secos de los últimos 40 años. La sequía está afectando la región norte de México, incluyendo la península de Baja California, Chihuahua, Durango, Sinaloa y Sonora. La prolongada escasez de agua afecta el acceso al suministro de agua, la producción agrícola y la ganadería.

Las temperaturas máximas y mínimas fueron superiores al promedio en Guatemala, El Salvador y Honduras. La falta de precipitaciones y las temperaturas más cálidas ayudaron a aumentar la evapotranspiración y a disminuir la salud de la vegetación en estos países.

(iv) Temperatura superficie del mar y circulación

Durante la temporada enero-marzo (JFM), se presentaron condiciones de La Niña, con temperaturas superficiales del mar (TSM) inferiores a la media, principalmente en el océano Pacífico ecuatorial central. Las anomalías de la TSM fueron de hasta 1.0-1.5 °C inferiores a la media, especialmente durante enero y febrero. La TSM comenzó a moderarse, acercándose a la media, durante marzo. El índice Niño4 mostró una tendencia negativa durante enero y alcanzó su punto más bajo a principios de febrero, con -0.9 °C. A partir de esa fecha, el índice aumentó hasta el final de la temporada. Con base en los patrones de temperatura de la superficie del mar (TSM) observados y las anomalías atmosféricas, el Centro de Predicción Climática (CPC) de la NOAA emitió un “Aviso Final de La Niña”, indicando que las condiciones de La Niña habían terminado. Al momento de escribir este artículo, a principios de abril, se habían restablecido

condiciones neutrales de ENOS. Se prevé que la neutralidad de ENOS continúe al menos durante el verano del hemisferio norte, con más del 50 % de probabilidad entre agosto y octubre.

Enfocándonos en la región de USRCC, las temperaturas de la superficie del mar (TSM) estuvieron por encima del promedio en todo el Caribe, con anomalías que generalmente oscilaron entre 0.5 °C y 1.0 °C (Fig. 6). Los tercios occidental y central del Golfo de México también estuvieron por encima del promedio, con las anomalías positivas más fuertes (1.5-3.0 °C) en el norte del Golfo. De igual manera, el Atlántico tropical mostró temperaturas de la superficie del mar (TSM) generalizadas superiores al promedio, con anomalías de 0.5 °C a 1 °C. El Pacífico oriental presentó temperaturas de la superficie del mar (TSM) cercanas al promedio o ligeramente superiores al promedio. Sin embargo, las aguas justo al sur y al oeste de la península de Baja California fueron mucho más frías que el promedio, con anomalías negativas de hasta 2.0 °C.

El patrón de circulación de 850 mb durante la temporada de JFM presentó vientos del este anómalos sobre el Caribe y Centroamérica. Por lo demás, las anomalías de viento fueron pequeñas, con una intensidad y ubicación muy típicas del anticiclón subtropical sobre la región (Fig. 7). A 200 mb (Fig. 8), el patrón presentó una amplia circulación anticiclónica anómala sobre la mayor parte de la región RCC. Esto probablemente explica la supresión generalizada de las precipitaciones en las zonas septentrionales de la región. Asociado a la circulación, en niveles superiores se observó viento del este fuertemente anómalo a lo largo del Caribe, Centroamérica y el sur de México. Las anomalías se situaron más al sur sobre el norte de México.

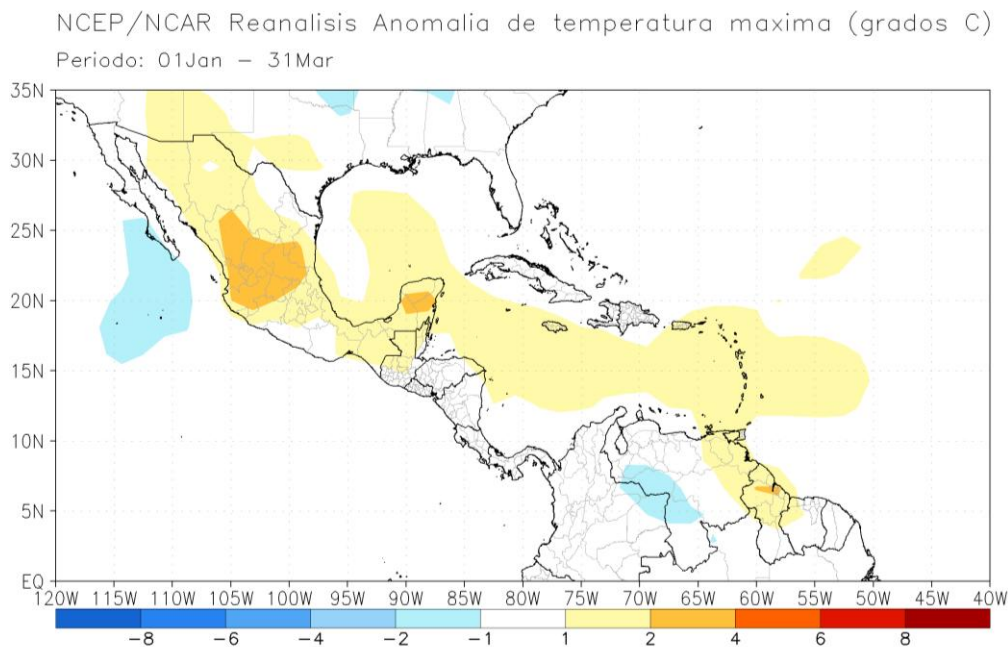


Figure 1. NCEP/NCAR reanálisis anomalía de temperatura máxima media cuadrada (°C) durante la estación EFM 2025. Las anomalías se calculan con respecto al período base 1991-2020.

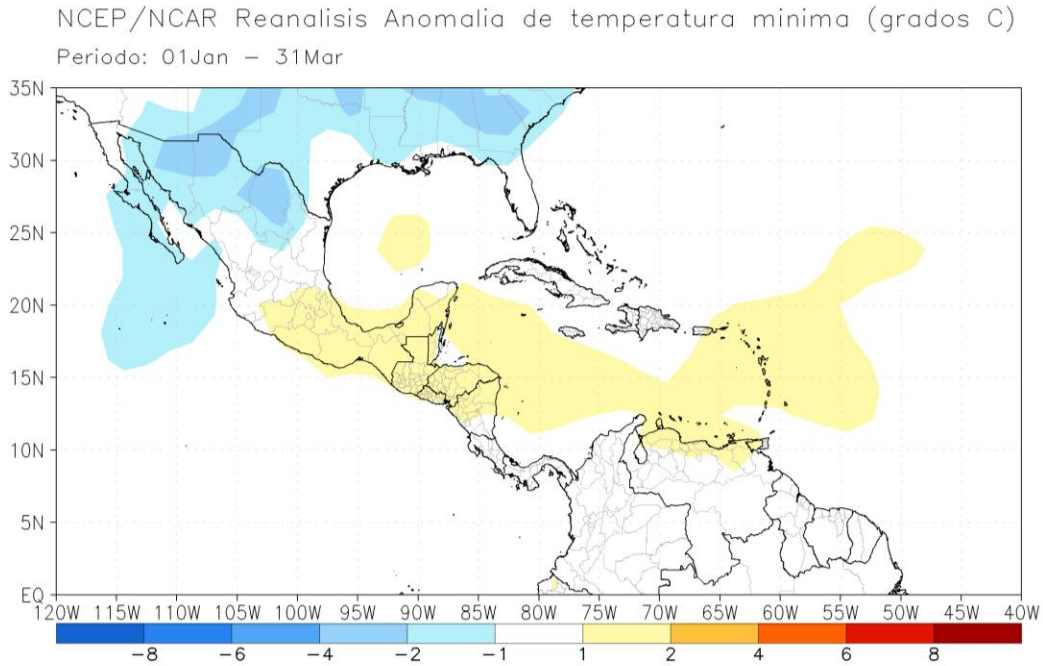


Figure 2. NCEP/NCAR reanálisis anomalía de temperatura mínima media cuadrada (°C) durante la estación EFM 2025. Las anomalías se calculan con respecto al período base 1991-2020.

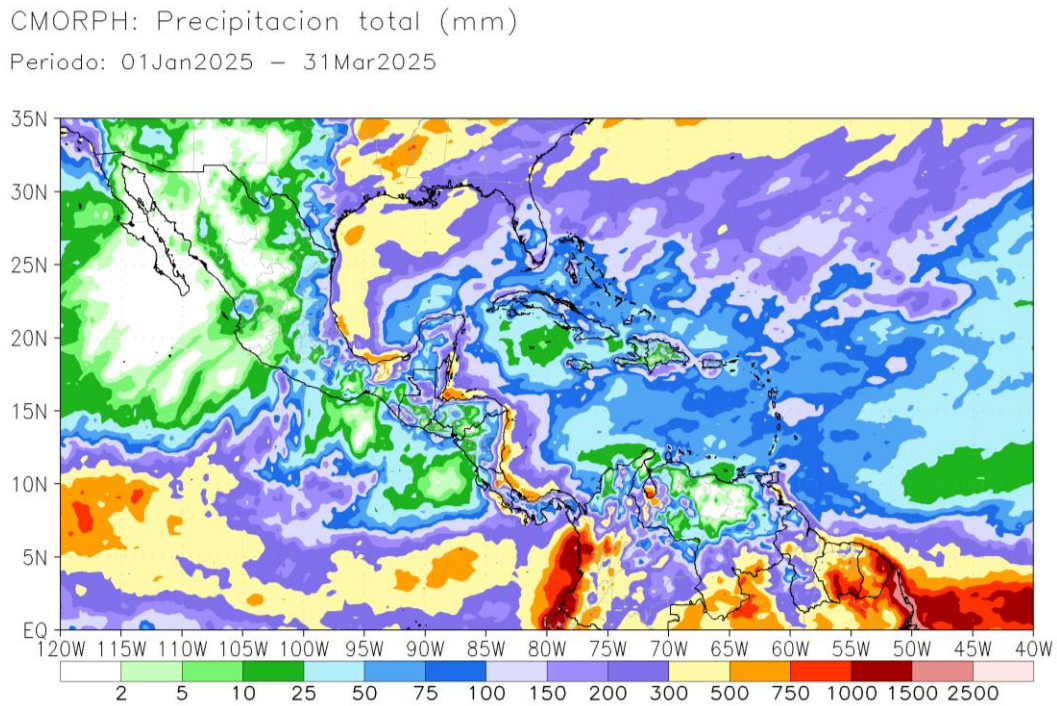


Figure 3. Precipitación total estimada por satélite (mm) durante la estación EFM 2025.

CMORPH: Anomalia de precipitacion (mm)

Periodo: 01Jan2025 - 31Mar2025

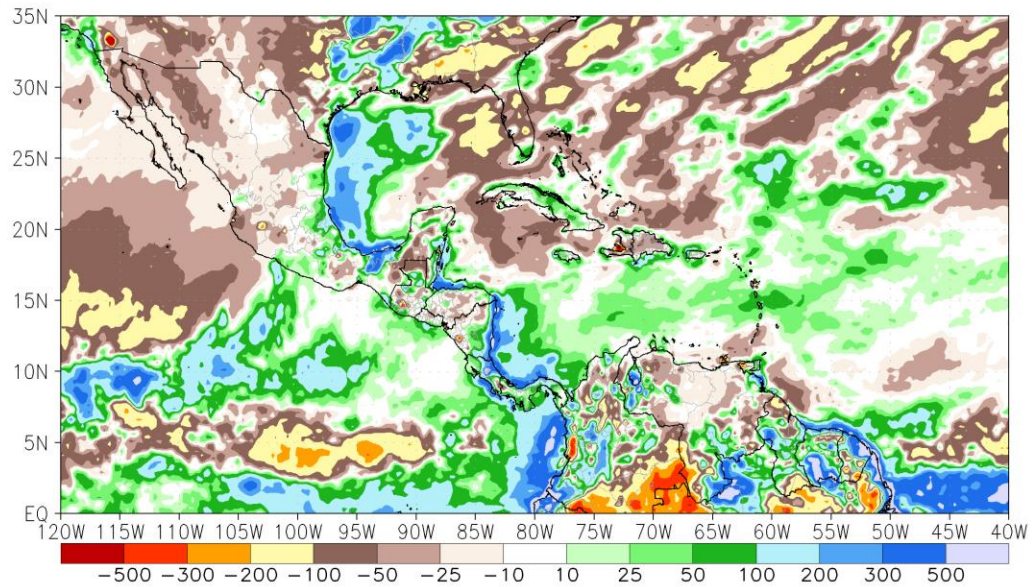


Figure 4. Anomalia de precipitación estimada por satélite (mm) durante la estación EFM 2025. Las anomalías se calculan con respecto al período base 1998-2012.

CPC Leaky Bucket Soil Moisture Percentile
January 2025 - March 2025

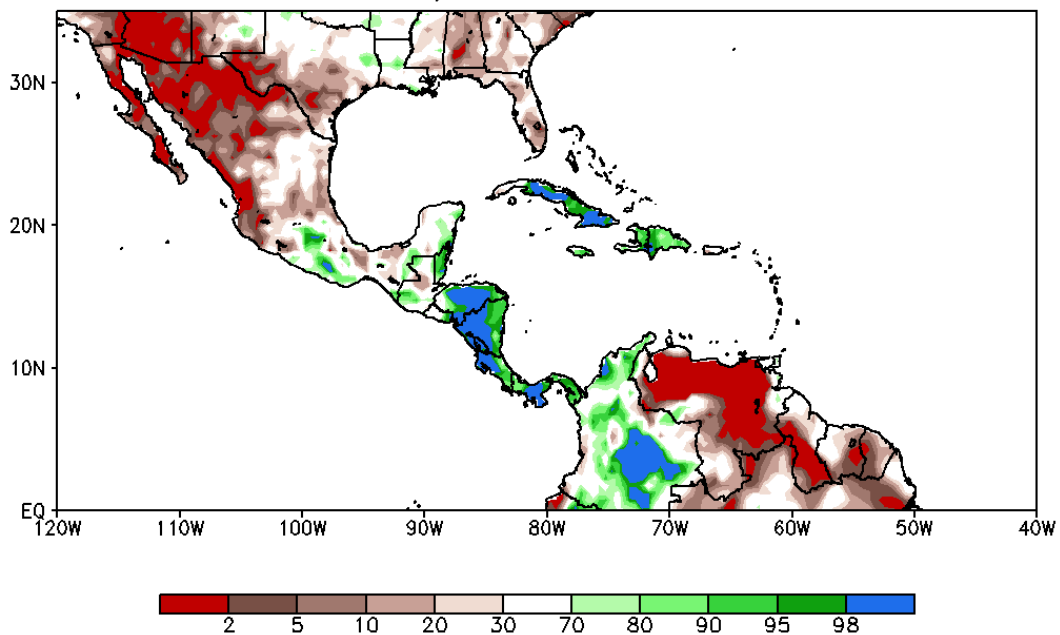


Figure 5. Percentil de humedad del suelo del modelo de CPC para el período de 3 meses del 1 de enero al 31 de marzo de 2025 utilizando un período climatológico de 1979-2019.

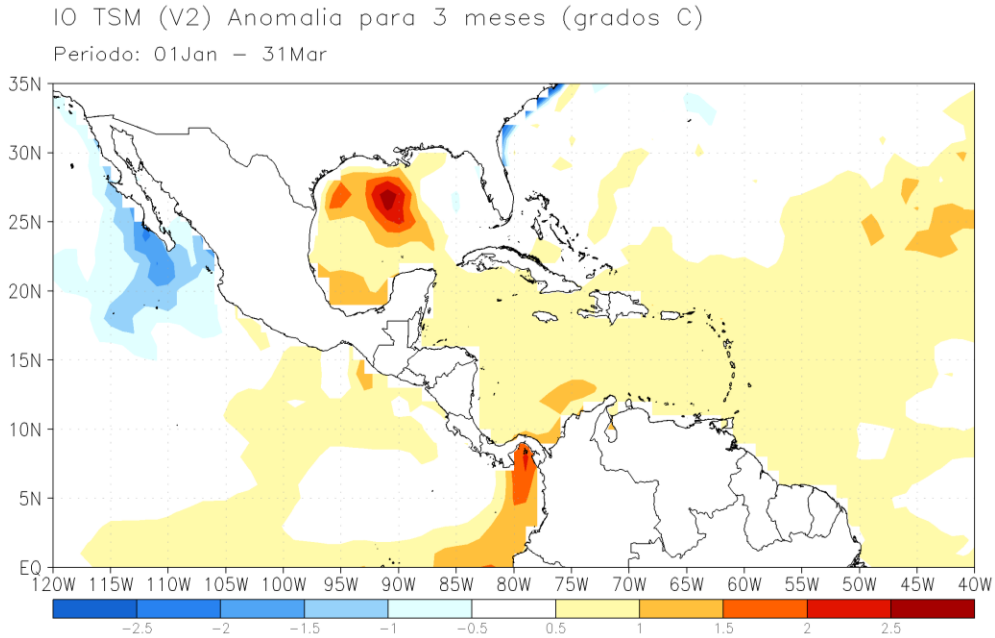


Figure 6. Anomalías de la temperatura media de la superficie del mar (TSM) (°C) durante la estación EFM 2025. Las anomalías se calculan con respecto al período base 1991-2020.

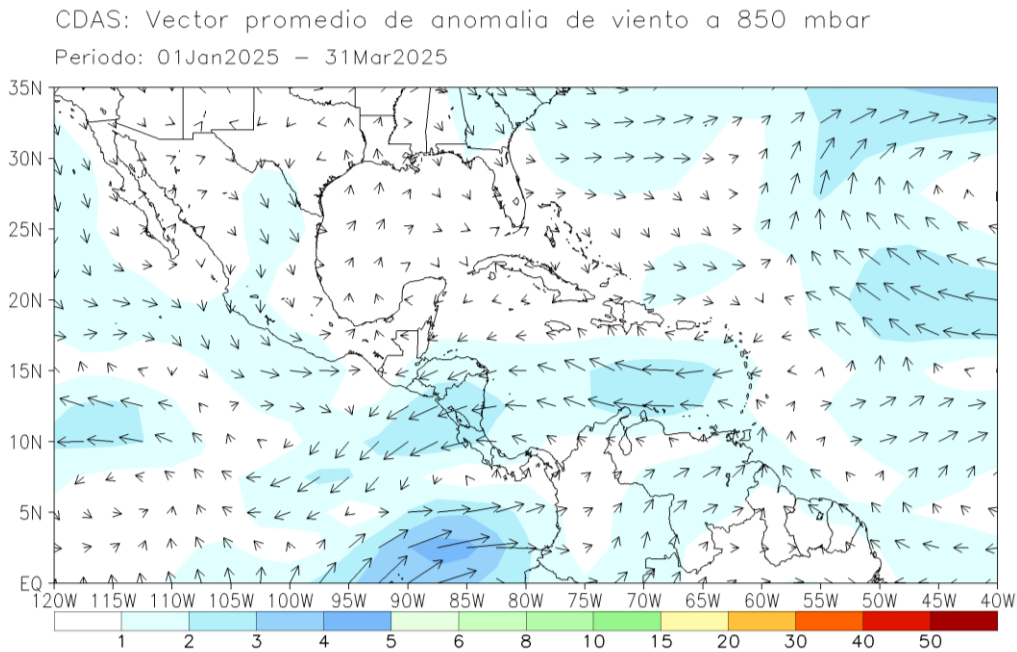


Figure 7. Anomalías de viento del vector medio de 850 mbar durante la estación EFM 2025. Las anomalías se calculan con respecto a 1991-2020.

CDAS: Vector promedio de anomalía de viento a 200 mbar

Periodo: 01Jan2025 - 31Mar2025

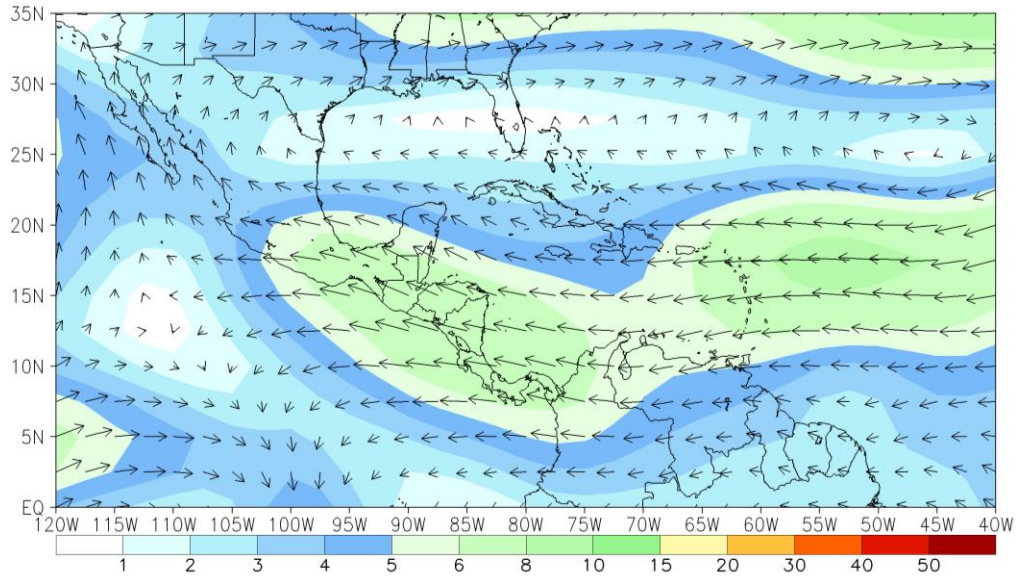


Figure 8. Anomalía del vector de viento de 200 mbar durante la estación EFM 2025. Las anomalías se calculan con respecto a 1991-2020.

16 abril 2025

Actualización preparada por el Centro de Predicción Climática / NCEP